Méthodes numériques II (cours 1 et 2)

François Cuvelier

Laboratoire d'Analyse Géométrie et Applications Institut Galilée Université Paris XIII.

2018/03/05

Part IV

Résolution numérique des E.D.P.

- Exemples d'E.D.P.
- Méthodes de résolution numérique d'EDP

- Opérateurs aux différences finies
- 4 Méthode des différences finies 1D
- 5 Problème modèle évolutif

Plan

- Exemples d'E.D.P.
 - Equation de Laplace/Poisson
 - Equation de la chaleur
 - Equation des ondes
- 2 Méthodes de résolution numérique d'EDP
- Opérateurs aux différences finies
 - Dimension 1

- Dimension n > 1
- 4) Méthode des différences finies 1D
 - EDP stationnaire 1D + Dirichlet
 - EDP stationnaire + CL mixtes
- Problème modèle évolutif
 - Schéma explicite
 - Schéma implicite

Exemples d'E.D.P

Equation de Laplace et équation de Poisson



Pierre-Simon Laplace 1749-1827, mathématicien, astronome, physicien et homme politique français



Siméon Denis Poisson 1781-1840, mathématicien, géomètre et physicien français

$$-\Delta u = f$$
, dans $\Omega \subset \mathbb{R}^n$ (4.1)

où Δ est l'opérateur laplacien : $\Delta u = \frac{\partial^2 u}{\partial x_1^2} + \ldots + \frac{\partial^2 u}{\partial x_n^2}$. Equation de Laplace si f = 0, sinon équation de Poisson.

Conditions aux limites

$$-\Delta u = f$$
, dans $\Omega \subset \mathbb{R}^n$

• **Dirichlet** si on impose, sur une partie de $\partial\Omega$,

$$u = g$$
, sur $\Gamma_D \subset \partial \Omega$. (4.2)

• **Neumann** si on impose sur une partie de $\partial\Omega$,

$$\frac{\partial u}{\partial n} = g, \quad \operatorname{sur} \, \Gamma_N \subset \partial \Omega. \tag{4.3}$$

où $\frac{\partial u}{\partial n} = \langle \mathbf{grad} \ u, \mathbf{n} \rangle$ avec **n** normale exterieure unitaire à Ω

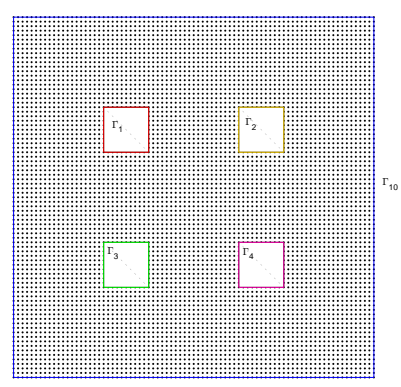
ullet **Robin** si on impose sur une partie de $\partial\Omega$

$$\frac{\partial u}{\partial n} + \alpha u = g, \quad \text{sur } \Gamma_R \subset \partial \Omega. \tag{4.4}$$

- Problème de condensateur en 2D

Find $u:\Omega\longrightarrow \mathbb{R}$ such that

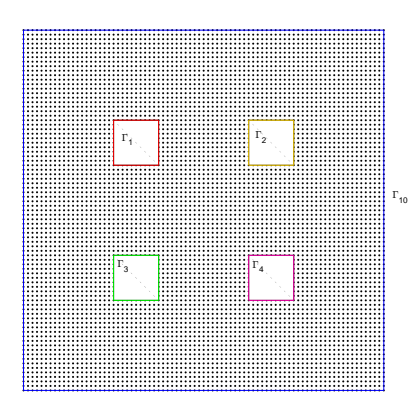
$$\begin{split} -\Delta u &= 0 & \text{in } \Omega \subset \mathbb{R}^2, \\ u &= 0 & \text{on } \Gamma_{10}, \\ u &= -1 & \text{on } \Gamma_2 \cup \Gamma 3, \\ u &= 1 & \text{on } \Gamma_1 \cup \Gamma 4, \end{split}$$

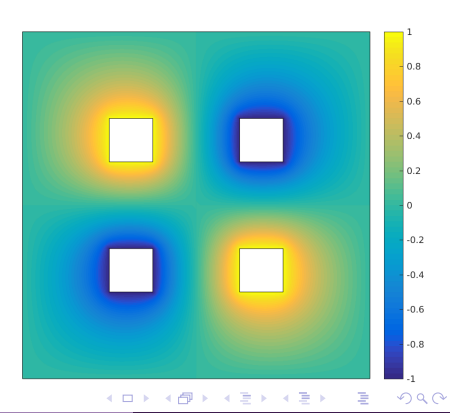


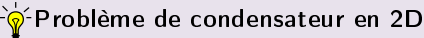
🍦 Problème de condensateur en 2D

Find $u:\Omega\longrightarrow\mathbb{R}$ such that

$$\begin{split} -\Delta u &= 0 & \text{in } \Omega \subset \mathbb{R}^2, \\ u &= 0 & \text{on } \Gamma_{10}, \\ u &= -1 & \text{on } \Gamma_2 \cup \Gamma 3, \\ u &= 1 & \text{on } \Gamma_1 \cup \Gamma 4, \end{split}$$

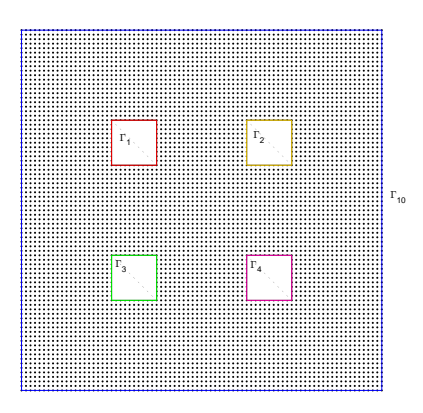


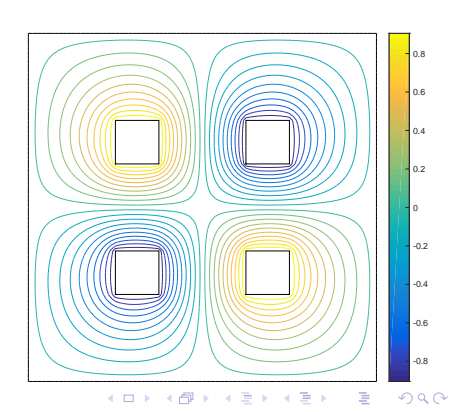




Find $u:\Omega\longrightarrow\mathbb{R}$ such that

$$\begin{split} -\Delta u &=& 0 & \text{in } \Omega \subset \mathbb{R}^2, \\ u &=& 0 & \text{on } \Gamma_{10}, \\ u &=& -1 & \text{on } \Gamma_2 \cup \Gamma 3, \\ u &=& 1 & \text{on } \Gamma_1 \cup \Gamma 4, \end{split}$$

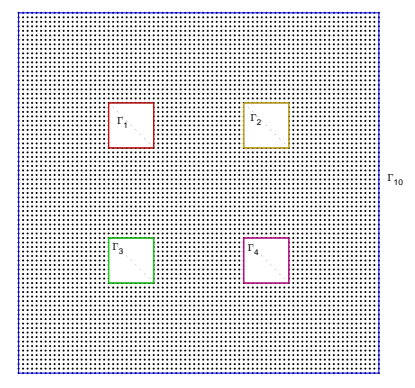


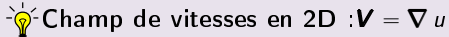


$-\dot{\mathbf{v}}$ -Champ de vitesses en 2D : $\mathbf{V} = \nabla u$

Trouver $u:\Omega\longrightarrow \mathbb{R}$ tel que

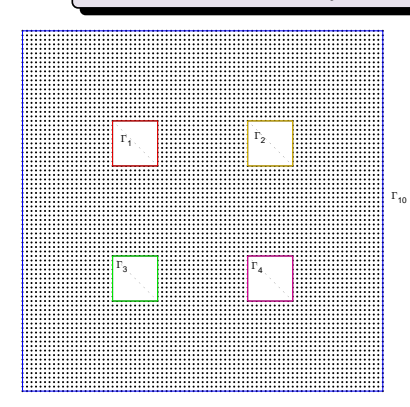
$$\begin{array}{rcl} -\Delta u &=& 0 \ \ \text{dans} \ \Omega \subset \mathbb{R}^2, \\ u &=& -1 \ \ \text{sur} \ \Gamma_2 \cup \Gamma 3, \\ u &=& 1 \ \ \text{sur} \ \Gamma_1 \cup \Gamma 4, \\ \frac{\partial u}{\partial n} &=& 0 \ \ \text{sur} \ \Gamma_{10}. \end{array}$$

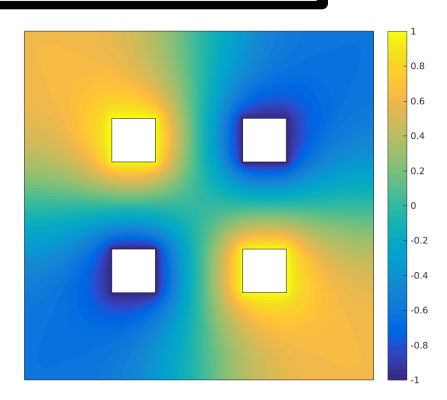


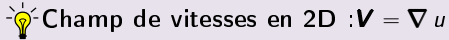


Trouver $u:\Omega\longrightarrow \mathbb{R}$ tel que

$$\begin{array}{rcl} -\Delta u &=& 0 \ \ \text{dans} \ \Omega \subset \mathbb{R}^2, \\ u &=& -1 \ \ \text{sur} \ \Gamma_2 \cup \Gamma 3, \\ u &=& 1 \ \ \text{sur} \ \Gamma_1 \cup \Gamma 4, \\ \frac{\partial u}{\partial } &=& 0 \ \ \text{sur} \ \Gamma_{10}. \end{array}$$

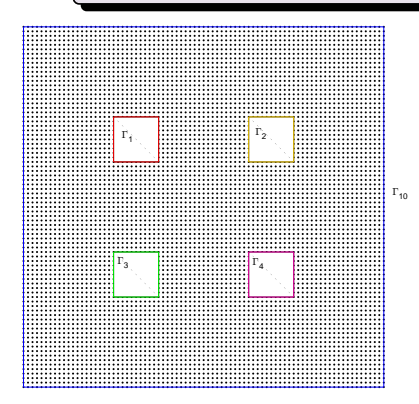


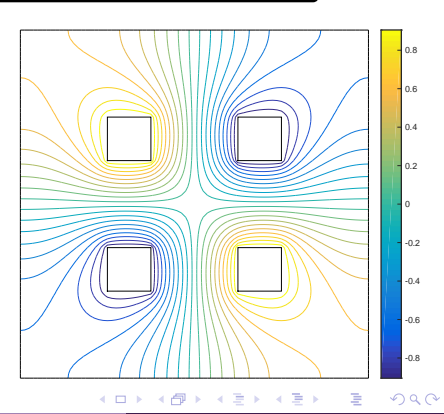




Trouver $u:\Omega\longrightarrow\mathbb{R}$ tel que

$$\begin{array}{rcl} -\Delta u &=& 0 \ \ \text{dans} \ \Omega \subset \mathbb{R}^2, \\ u &=& -1 \ \ \text{sur} \ \Gamma_2 \cup \Gamma 3, \\ u &=& 1 \ \ \text{sur} \ \Gamma_1 \cup \Gamma 4, \\ \frac{\partial u}{\partial n} &=& 0 \ \ \text{sur} \ \Gamma_{10}. \end{array}$$





Problème mal posé



-Problème en dimension *n*

Find $u:\Omega\longrightarrow\mathbb{R}$ such that

$$-\Delta u = f \text{ in } \Omega \subset \mathbb{R}^n,$$
$$\frac{\partial u}{\partial n} = g \text{ sur } \partial \Omega.$$

où Ω est un domaine borné de \mathbb{R}^n .

Ce problème est mal posé : non unicité de la solution.

u solution $\Rightarrow u + constante$ solution

$$\frac{\partial u}{\partial t}(t, \mathbf{x}) - D\Delta u(t, \mathbf{x}) = \frac{f(t, \mathbf{x})}{\rho c}, \quad \forall \mathbf{x} \in \Omega, \ \forall t \in [0, T]$$
 (4.5)

- $\Omega \subset \mathbb{R}^d$ de frontière $\partial \Omega$
- D, coefficient de diffusivité thermique (en m^2/s),
- f, production volumique de chaleur (en W/m^3),
- ρ , masse volumique du matériau (en kg/m^3),
- ullet c, chaleur spécifique massique du matériau (en J/kg/K),
- Δu laplacien (en espace) : $\Delta u = \frac{\partial^2 u}{\partial x_1^2} + \ldots + \frac{\partial^2 u}{\partial x_d^2}$

Problème bien posé ?



$$\frac{\partial u}{\partial t}(t, \mathbf{x}) - D\Delta u(t, \mathbf{x}) = \frac{f(t, \mathbf{x})}{\rho c}, \quad \forall \mathbf{x} \in \Omega, \ \forall t \in [0, T]$$
 (4.5)

Problème bien posé :

condition initiale

$$\forall \mathbf{x} \in \Omega, \quad u(0, \mathbf{x}) = u_0(\mathbf{x}) \tag{4.6}$$

- conditions aux limites sur ∂Ω
 - Dirichlet :

$$\forall \mathbf{x} \in \Gamma_D \subset \partial \Omega, \ \forall t \in [0, T] \quad u(t, \mathbf{x}) = g_D(t, \mathbf{x})$$

▶ Neumann :

$$\forall \boldsymbol{x} \in \Gamma_N \subset \partial \Omega, \ \forall t \in [0, T] \quad D \frac{\partial u}{\partial n}(t, \boldsymbol{x}) = g_N(t, \boldsymbol{x})$$

▶ Robin:

$$\forall \boldsymbol{x} \in \Gamma_R \subset \partial \Omega, \ \forall t \in [0, T] \quad D \frac{\partial u}{\partial n}(t, \boldsymbol{x}) + \alpha u(t, \boldsymbol{x}) = g_N(t, \boldsymbol{x})$$

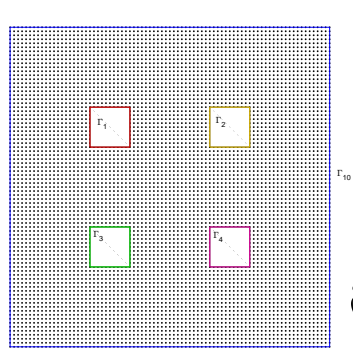
- Problème de chaleur en 2D

Find $u:\Omega\subset\mathbb{R}^2\longrightarrow\mathbb{R}$ such that

$$\begin{split} \frac{\partial u}{\partial t} - D\Delta u &= 0 \text{ in } [0, T] \times \Omega, \\ u(0, \mathbf{x}) &= 20 \ \forall \mathbf{x} \in \Omega, \\ \frac{\partial u}{\partial n} &= 0 \text{ on } \Gamma_{10}, \\ u &= g_1 \text{ on } \Gamma_2 \cup \Gamma 3, \\ u &= g_2 \text{ on } \Gamma_1 \cup \Gamma 4, \end{split}$$

où Ω (cotés de 20 cm)

- $D = 98.8 \times 10^{-6}$ (aluminium) ou $D = 23.9 \times 10^{-6}$ (plomb),
- $\forall x \in \Gamma_2 \cup \Gamma_3$, $g_1(t,x) = (20 + 40t)$ si t <= 1et $g_1(t,x) = 60$ sinon,
- $\forall \mathbf{x} \in \Gamma_1 \cup \Gamma 4$, $g_2(t, \mathbf{x}) = (20 + 80t) \text{ si } t <= 1$ et $g_2(t, \mathbf{x}) = 100 \text{ sinon.}$





Equation des ondes

$$\frac{\partial^2 u}{\partial t^2}(t, \mathbf{x}) - c^2 \Delta u(t, \mathbf{x}) = 0, \quad \forall \mathbf{x} \in \Omega, \ \forall t \in [0, T]$$
(4.7)

- $\Omega \subset \mathbb{R}^d$ de frontière $\partial \Omega$
- c > 0 vitesse de propagation de l'onde,

Problème bien posé ?



$$\frac{\partial^2 u}{\partial t^2}(t, \mathbf{x}) - c^2 \Delta u(t, \mathbf{x}) = 0, \quad \forall \mathbf{x} \in \Omega, \ \forall t \in [0, T]$$

conditions initiales

$$u(0, \mathbf{x}) = u_0(\mathbf{x}), \quad \forall \mathbf{x} \in \Omega$$
 [position initiale] (4.8)

$$\frac{\partial u}{\partial t}(0, \mathbf{x}) = v_0(\mathbf{x}), \qquad \forall \mathbf{x} \in \Omega \quad [\text{vitesse initiale}] \tag{4.9}$$

- conditions aux limites sur ∂Ω
 - Dirichlet :

$$\forall \boldsymbol{x} \in \Gamma_D \subset \partial \Omega, \ \forall t \in [0, T], \qquad u(t, \boldsymbol{x}) = g_D(t, \boldsymbol{x})$$

▶ Neumann :

$$\forall \boldsymbol{x} \in \Gamma_N \subset \partial \Omega, \ \forall t \in [0, T], \qquad c^2 \frac{\partial u}{\partial n}(t, \boldsymbol{x}) = g_N(t, \boldsymbol{x})$$

Robin :

$$\forall \mathbf{x} \in \Gamma_R \subset \partial \Omega, \ \forall t \in [0, T], \qquad c^2 \frac{\partial u}{\partial n}(t, \mathbf{x}) + \alpha u(t, \mathbf{x}) = g_N(t, \mathbf{x})$$

Plan

- Exemples d'E.D.P.
 - Equation de Laplace/Poisson
 - Equation de la chaleur
 - Equation des ondes
- Méthodes de résolution numérique d'EDP
- Opérateurs aux différences finies
 - Dimension 1

- Dimension n > 1
- 4 Méthode des différences finies 1D
 - EDP stationnaire 1D + Dirichlet
 - EDP stationnaire + CL mixtes
- Problème modèle évolutif
 - Schéma explicite
 - Schéma implicite

Résolution numérique d'EDP

Méthodes déterministes :

- méthode des différences finies
- méthode des éléments finis
- méthode des volumes finis

Plan

- Exemples d'E.D.P.
 - Equation de Laplace/Poisson
 - Equation de la chaleur
 - Equation des ondes
- 2 Méthodes de résolution numérique d'EDP
- Opérateurs aux différences finies
 - Dimension 1

- Dimension n > 1
- 4 Méthode des différences finies 1D
 - EDP stationnaire 1D + Dirichlet
 - EDP stationnaire + CL mixtes
- Problème modèle évolutif
 - Schéma explicite
 - Schéma implicite

Opérateurs aux différences finies

Soient $\varphi:\mathbb{R}\longrightarrow\mathbb{R}$ suffisament régulière, h>0 et $x\in\mathbb{R}$

$$(D_h^+\varphi)(x) = \frac{1}{h}(\varphi(x+h) - \varphi(x)) \tag{4.12}$$

$$(D_h^-\varphi)(x) = \frac{1}{h}(\varphi(x) - \varphi(x-h)) \tag{4.13}$$

$$(D_h^0\varphi)(x) = \frac{1}{2h} \left(\varphi(x+h) - \varphi(x-h)\right) \tag{4.14}$$

- D_h⁺ opérateur progressif/décentré avancé
- ullet D_h^- opérateur rétrograde/décentré retardé
- D_h⁰ opérateur centré



Definition 4.1

Soit h > 0. On dit qu'un opérateur aux différences finies D_h est une approximation consistante d'ordre p de $\frac{d^k \varphi}{dx^k}$ si pour tout $\varphi: [a, b] \longrightarrow$ \mathbb{R} suffisament régulière on a

$$\max_{x \in [a,b]} \left| (D_h \varphi)(x) - \frac{d^k \varphi}{dx^k}(x) \right| \leqslant Ch^p, \tag{4.15}$$

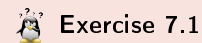
où C est une constante indépendante de h.



Proposition 4.2

Si $\varphi: \mathbb{R} \longrightarrow \mathbb{R}$ est suffisament régulière, les opérateurs D_h^+ et $D_h^$ appliqués à φ sont des approximations consistantes d'ordre 1 de $\frac{d\varphi}{dx}$ et l'opérateur D_h^0 appliqué à φ est une approximation consistante d'ordre 2 de $\frac{d\varphi}{dx}$.

TD



Soient h > et les trois opérateurs aux différences finies suivant

$$(D_h^+\varphi)(x) = \frac{1}{h}(\varphi(x+h) - \varphi(x))$$

$$(D_h^-\varphi)(x) = \frac{1}{h}(\varphi(x) - \varphi(x-h))$$

$$(D_h^0\varphi)(x) = \frac{1}{2h}(\varphi(x+h) - \varphi(x-h))$$

- Q.1 Monter que ces trois opérateurs sont linéaires (i.e. $\forall (\lambda, \mu) \in \mathbb{R}^2$, $\forall \varphi : \mathbb{R} \longrightarrow \mathbb{R}, \ \forall \psi : \mathbb{R} \longrightarrow \mathbb{R}, \ D_h(\lambda \varphi + \mu \psi) = \lambda D_h \varphi + \mu D_h \psi.)$
- **Q.2** On suppose que $\varphi \in \mathcal{C}^k([a,b];\mathbb{R})$ avec $k \geqslant 2$. Montrer que les opérateurs D_h^+ et D_h^- sont des approximations consistantes d'ordre 1 de $\frac{d\varphi}{dx}$.
- **Q.3** On suppose que $\varphi \in \mathcal{C}^k([a,b];\mathbb{R})$ avec $k \geqslant 3$. Montrer que l'opérateur D_h^0 est une approximation consistante d'ordre 2 de $\frac{d\varphi}{dx}$.



Proposition 4.3

Soient $\varphi \in C^4([a,b];\mathbb{R})$. On note D_h^2 l'opérateur défini, pour tout $x \in]a,b[$ et h>0 tels que $x \pm h \in [a,b]$, par

$$(D_h^2\varphi)(x) \stackrel{\text{def}}{=} \frac{1}{h^2} \left[\varphi(x+h) - 2\varphi(x) + \varphi(x-h) \right]. \tag{4.16}$$

Alors $D_h^2\varphi$ appliqué à φ est une approximation consistante d'ordre 2 de $\frac{d^2\varphi}{dx^2}$. De plus on a

$$D_h^2 \varphi = D_{\frac{h}{2}}^0 (D_{\frac{h}{2}}^0 \varphi) = D_h^+ (D_h^- \varphi) = D_h^- (D_h^+ \varphi)$$
 (4.17)

est une approximation consistante d'ordre 2 de $\frac{d^2 \varphi}{dx^2}$.

Démonstration en exercice

Dimension n > 1



Proposition 4.4: (admis)

Soit U un ouvert non vide de \mathbb{R}^n et f une application $f:U\subset\mathbb{R}^n\longrightarrow$ \mathbb{R} . Si $f \in \mathcal{C}^{r+1}(U)$ alors $\forall \mathbf{x} \in U$, $\forall h \in \mathbb{R}^*$ vérifiant $\mathbf{x} + h\mathbf{e}^{[i]} \in U$, $\forall i \in [1, n]$, il existe $\theta \in]0, 1[$ tel quel

$$f(\mathbf{x} + h\mathbf{e}^{[i]}) = f(\mathbf{x}) + \sum_{k=1}^{r} \frac{h^k}{k!} \frac{\partial^k f}{\partial x_i^k}(\mathbf{x}) + \frac{h^{r+1}}{(r+1)!} \frac{\partial^r f}{\partial x_i^r}(\mathbf{x} + \theta h\mathbf{e}^{[i]})$$
(4.18)

où $e^{[i]}$ est le *i*-ème vecteur de la base canonique de \mathbb{R}^n .

Opérateurs aux différences finies en dimension n > 1

Soient $\varphi:U\subset\mathbb{R}^n\longrightarrow\mathbb{R}$ suffisament régulière, h>0 et $i\in\llbracket 1,n\rrbracket$

$$(D_{h,i}^+\varphi)(\mathbf{x}) = \frac{1}{h}\left(\varphi(\mathbf{x} + h\mathbf{e}^{[i]}) - \varphi(\mathbf{x})\right)$$
(4.19)

$$(D_{h,i}^{-}\varphi)(\mathbf{x}) = \frac{1}{h}\left(\varphi(\mathbf{x}) - \varphi(\mathbf{x} - h\mathbf{e}^{[i]})\right)$$
(4.20)

$$(D_{h,i}^{0}\varphi)(\mathbf{x}) = \frac{1}{2h}\left(\varphi(\mathbf{x} + h\mathbf{e}^{[i]}) - \varphi(\mathbf{x} - h\mathbf{e}^{[i]})\right)$$
(4.21)

Soient $\varphi:U\subset\mathbb{R}^2\longrightarrow\mathbb{R}$ une fonction suffisament régulière, h>0 et les trois opérateurs aux différences finies suivant définis pour $i \in [1, 2]$

$$\begin{array}{rcl} (D_{h,i}^{+}\varphi)(\mathbf{x}) & = & \frac{1}{h}\left(\varphi(\mathbf{x}+h\mathbf{e}^{[i]})-\varphi(\mathbf{x})\right) \\ (D_{h,i}^{-}\varphi)(\mathbf{x}) & = & \frac{1}{h}\left(\varphi(\mathbf{x})-\varphi(\mathbf{x}-h\mathbf{e}^{[i]})\right) \\ (D_{h,i}^{0}\varphi)(\mathbf{x}) & = & \frac{1}{2h}\left(\varphi(\mathbf{x}+h\mathbf{e}^{[i]})-\varphi(\mathbf{x}-h\mathbf{e}^{[i]})\right) \end{array}$$

avec
$${m e}^{[1]}=egin{pmatrix}1\\0\end{pmatrix}$$
 et ${m e}^{[2]}=egin{pmatrix}0\\1\end{pmatrix}$.

- **Q.1** Monter que ces trois opérateurs sont linéaires (i.e. $\forall (\lambda, \mu) \in \mathbb{R}^2, \forall \varphi$: $U \subset \mathbb{R}^2 \longrightarrow \mathbb{R}, \forall \psi : U \subset \mathbb{R}^2 \longrightarrow \mathbb{R}, D_{h,i}(\lambda \varphi + \mu \psi) = \lambda D_{h,i} \varphi + \mu D_{h,i} \psi.$
- **Q.2** On suppose que $\varphi \in \mathcal{C}^k(U \subset \mathbb{R}^2; \mathbb{R})$ avec $k \geq 2$. Montrer que les opérateurs $D_{h,i}^+$ et $D_{h,i}^-$ appliqués à φ sont des approximations consistantes d'ordre 1 de $\frac{\partial \varphi}{\partial \mathbf{x}}$.
- **Q.3** On suppose que $\varphi \in C^k(U \subset \mathbb{R}^2; \mathbb{R})$ avec $k \ge 3$. Montrer que l'opérateur D_{b}^{0} ; appliqué à φ est une approximation consistante d'ordre 2 de $\frac{\partial \varphi}{\partial x}$.



Proposition 4.5

 $\operatorname{Si} \varphi: U \subset \mathbb{R}^n \longrightarrow \mathbb{R}$ est suffisament régulière, les opérateurs $D_{h,i}^+$ et $D_{h,i}^-$ appliqués à φ sont des approximations consistantes d'ordre 1 de $\frac{\partial \varphi}{\partial x}$ et l'opérateur $D_{h,i}^0$ appliqué à φ est une approximation consistante d'ordre 2 de $\frac{\partial \varphi}{\partial x}$.



Proposition 4.6

Soient $i \in [1, n], \varphi \in C^4(U \subset \mathbb{R}^n; \mathbb{R})$. On note D_h^2 ; l'opérateur défini, pour tout $\mathbf{x} \in U$ et h > 0 vérifiant $\mathbf{x} \pm h\mathbf{e}^{[i]} \in U$, par

$$(D_{h,i}^2\varphi)(\mathbf{x}) \stackrel{\text{def}}{=} \frac{1}{h^2} \left[\varphi(\mathbf{x} + h\mathbf{e}^{[i]}) - 2\varphi(\mathbf{x}) + \varphi(\mathbf{x} - h\mathbf{e}^{[i]}) \right]$$
(4.22)

Alors $D_{h,i}^2 \varphi$ est approximation consistante d'ordre 2 de $\frac{\partial^2 \varphi}{\partial x^2}$. De plus, on a

$$D_{h,i}^{2}\varphi = D_{\frac{h}{2},i}^{0}(D_{\frac{h}{2},i}^{0}\varphi) = D_{h,i}^{+}(D_{h,i}^{-}\varphi) = D_{h,i}^{-}(D_{h,i}^{+}\varphi). \tag{4.23}$$

Plan

- Exemples d'E.D.P.
 - Equation de Laplace/Poisson
 - Equation de la chaleur
 - Equation des ondes
- Méthodes de résolution numérique d'EDP
- Opérateurs aux différences finies
 - Dimension 1

- Dimension n > 1
- Méthode des différences finies 1D
 - EDP stationnaire 1D + Dirichlet
 - EDP stationnaire + CL mixtes
 - 5 Problème modèle évolutif
 - Schéma explicite
 - Schéma implicite

- Exemples d'E.D.P.
 - Equation de Laplace/Poisson
 - Equation de la chaleur
 - Equation des ondes
- 2 Méthodes de résolution numérique d'EDP
- Opérateurs aux différences finies
 - Dimension 1

- Dimension n > 1
- 4 Méthode des différences finies 1D
 - EDP stationnaire 1D + Dirichlet
 - EDP stationnaire + CL mixtes
- 5 Problème modèle évolutif
 - Schéma explicite
 - Schéma implicite

Soient $a < b, c > 0, \alpha \in \mathbb{R}, \beta \in \mathbb{R}, \text{ et } f : [a, b] \longrightarrow \mathbb{R} \text{ donnés.}$



-'o∕-EDP modèle stationnaire 1D

Trouver $u:[a,b] \longrightarrow \mathbb{R}$ telle que

$$-u'' + cu = f \text{ in }]a, b[,$$
 (4.24)

$$u(a) = \alpha, \tag{4.25}$$

$$u(b) = \beta. (4.26)$$

OU



EDP modèle stationnaire 1D : formulation aux points

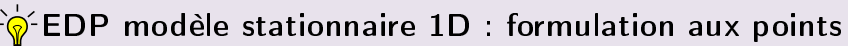
Trouver $u(x) \in \mathbb{R}, \ \forall x \in [a, b]$ telle que

$$-u''(x) + cu(x) = f(x) \ \forall x \in]a, b[, \tag{4.27}$$

$$u(a) = \alpha, \tag{4.28}$$

$$u(b) = \beta. (4.29)$$

Chercher u ou u(x), $\forall x \in [a, b]$ (infinité de points!)



Trouver $u(x) \in \mathbb{R}, \ \forall x \in [a, b]$ telle que

$$-u''(x) + cu(x) = f(x) \forall x \in]a, b[,$$

$$u(a) = \alpha,$$

$$u(b) = \beta.$$

$$x_i = a + ih$$
, $\forall i \in [0, N]$, avec $h = \frac{b - a}{N}$.

EDP modèle stationnaire1D : formulation aux points de discrétisation

Trouver $u(x_i) \in \mathbb{R}, \ \forall i \in \llbracket 0, N \rrbracket$ tels que

$$-u''(x_i) + cu(x_i) = f(x_i) \ \forall i \in]0, N[,$$
 (4.30)

$$u(x_0) = \alpha, (4.31)$$

$$u(x_N) = \beta. (4.32)$$

EDP modèle stationnaire1D : formulation aux points de discrétisation

Trouver $u(x_i) \in \mathbb{R}, \ \forall i \in \llbracket 0, N \rrbracket$ tels que

$$-u''(x_i) + cu(x_i) = f(x_i) \quad \forall i \in]0, N[,$$

$$u(x_0) = \alpha,$$

$$u(x_N) = \beta.$$

$$u''(x_i) = (D_h^2 u)(x_i) + \mathcal{O}(h^2) = \frac{u(x_{i+1}) - 2u(x_i) + u(x_{i-1})}{h^2} + \mathcal{O}(h^2).$$

√EDP modèle stationnaire1D : formulation aux points de discrétisation

Trouver $u(x_i) \in \mathbb{R}, \ \forall i \in [0, N]$ tels que $-u''(x_i) + cu(x_i) = f(x_i) \quad \forall i \in]0, N[],$ $u(x_0) = \alpha$ $u(x_N) = \beta.$

$$u''(x_i) = (D_h^2 u)(x_i) + \mathcal{O}(h^2) = \frac{u(x_{i+1}) - 2u(x_i) + u(x_{i-1})}{h^2} + \mathcal{O}(h^2).$$

\circ -EDP modèle stationnaire en dimension 1 : formulation aux points de discrétisation (bis)

Trouver $u(x_i) \in \mathbb{R}, \forall i \in [0, N]$ tels que

$$-\frac{u(x_{i+1}) - 2u(x_i) + u(x_{i-1})}{h^2} - \mathcal{O}(h^2) + cu(x_i) = f(x_i) \quad \forall i \in]0, \text{(4.34)}$$

$$u(x_0) = \alpha, \qquad (4.34)$$

$$u(x_N) = \beta. \qquad (4.35)$$

2018/03/05

EDP modèle stationnaire en dimension 1: formulation aux points de discrétisation (bis)

Trouver $u(x_i) \in \mathbb{R}, \ \forall i \in [0, N]$ tels que

$$-\frac{u(x_{i+1}) - 2u(x_i) + u(x_{i-1})}{h^2} - \mathcal{O}(h^2) + cu(x_i) = f(x_i) \quad \forall i \in]0, N[,$$

$$u(x_0) = \alpha,$$

$$u(x_N) = \beta.$$

On oublie le $\mathcal{O}(h^2)$ et on pose $u_i \approx u(x_i)$.



EDP modèle stationnaire en dimension 1 : formulation aux points de discrétisation (bis)

Trouver $u(x_i) \in \mathbb{R}, \forall i \in [0, N]$ tels que

$$-\frac{u(x_{i+1}) - 2u(x_i) + u(x_{i-1})}{h^2} - \mathcal{O}(h^2) + cu(x_i) = f(x_i) \quad \forall i \in]0, N[,$$

$$u(x_0) = \alpha,$$

$$u(x_N) = \beta.$$

On oublie le $\mathcal{O}(h^2)$ et on pose $u_i \approx u(x_i)$.



© EDP modèle stationnaire 1D : schéma aux différences finies

Trouver $u_i \in \mathbb{R}, \forall i \in [0, N]$ tels que

$$-\frac{u_{i+1}-2u_i+u_{i-1}}{h^2}+cu_i = f(x_i) \ \forall i \in]0, N[], \quad (4.36)$$

$$_{0} = \alpha, \tag{4.37}$$

$$u_N = \beta. (4.38)$$

EDP modèle stationnaire 1D : schéma aux différences finies

Trouver $u_i \in \mathbb{R}, \ \forall i \in \llbracket 0, N \rrbracket$ tels que

$$-\frac{u_{i+1}-2u_i+u_{i-1}}{h^2}+cu_i=f(x_i) \ \forall i\in]0,N[,$$
 (4.36)

$$u_0 = \alpha, \tag{4.37}$$

$$u_N = \beta. \tag{4.38}$$

système linéaire de N+1 équations à N+1 inconnues !

$$\begin{cases} u_0 &= \alpha & \leftarrow \operatorname{eq. en} x_0 \\ -u_2 + \mu u_1 - u_0 &= h^2 f(x_1) & \leftarrow \operatorname{eq. en} x_1 \\ & \vdots & & \\ -u_N + \mu u_{N-1} - u_{N-2} &= h^2 f(x_{N-1}) & \leftarrow \operatorname{eq. en} x_{N-1} \\ u_N &= \beta & \leftarrow \operatorname{eq. en} x_N \end{cases}$$

avec $\mu = 2 + ch^2$.

$$\begin{cases} u_0 & = \alpha & \leftarrow \text{eq. en } x_0 \\ -u_2 + \mu u_1 - u_0 & = f(x_1) & \leftarrow \text{eq. en } x_1 \\ -u_3 + \mu u_2 - u_1 & = f(x_2) & \leftarrow \text{eq. en } x_2 \end{cases}$$

$$\vdots$$

$$-u_{N-1} + \mu u_{N-2} - u_{N-3} & = f(x_{N-2}) & \leftarrow \text{eq. en } x_{N-2} \\ -u_N + \mu u_{N-1} - u_{N-2} & = f(x_{N-1}) & \leftarrow \text{eq. en } x_{N-1} \\ u_N & = \beta & \leftarrow \text{eq. en } x_N \end{cases}$$

$$\mathbb{A}\boldsymbol{U} \stackrel{\text{def}}{=} \begin{pmatrix} 1 & 0 & \dots & \dots & 0 & 0 & 0 \\ -1 & \mu & -1 & 0 & \dots & \dots & 0 & 0 \\ 0 & -1 & \mu & -1 & 0 & \dots & 0 & 0 \\ 0 & 0 & \dots & \dots & \dots & \vdots & \vdots & \vdots \\ \vdots & \vdots & \dots & \dots & \dots & \vdots & \vdots & \vdots \\ \vdots & 0 & \dots & 0 & 1 & \mu & -1 & 0 \\ 0 & 0 & \dots & \dots & 0 & -1 & \mu & -1 \\ \hline 0 & \dots & \dots & \dots & 0 & 1 \end{pmatrix} \begin{pmatrix} u_0 \\ u_1 \\ u_2 \\ \vdots \\ u_{N-2} \\ u_{N-1} \\ u_N \end{pmatrix} = \begin{pmatrix} \alpha \\ h^2 f(x_1) \\ h^2 f(x_2) \\ \vdots \\ h^2 f(x_{N-2}) \\ h^2 f(x_{N-1}) \\ \hline \beta \end{pmatrix}^{\text{def}} \boldsymbol{B} \quad (4.39)$$



Proposition 4.1: admis

Le schéma aux différences finies (4.36)-(4.38) est consistant à l'ordre 2 avec l'EDP (4.24)-(4.26) et on a

$$\max_{i \in [0,N]} |u(x_i) - u_i| = \mathcal{O}(h^2). \tag{4.40}$$

Q.1 Ecrire la fonction Assemble MAT1D retournant la matrice $\mathbb{M} \in \mathcal{M}_d(\mathbb{R})$ définie par

$$\mathbb{M} = \begin{pmatrix} \gamma & 0 & 0 & \dots & \dots & 0 \\ \beta & \alpha & \beta & \ddots & & & \vdots \\ 0 & \ddots & \ddots & \ddots & \ddots & \vdots \\ \vdots & \ddots & \ddots & \ddots & \ddots & \ddots & \vdots \\ \vdots & & \ddots & \ddots & \ddots & \ddots & 0 \\ \vdots & & & \ddots & \beta & \alpha & \beta \\ 0 & \dots & \dots & 0 & 0 & \gamma \end{pmatrix}$$

$$(4.41)$$

où α , β et γ sont des réels donnés.

On souhaite résoudre par un schéma aux différences finies l'EDP suivante

$$-u'' + cu = f \text{ in }]a, b[,$$

$$u(a) = \alpha,$$

$$u(b) = \beta.$$

- **Q.2** En prenant le jeu de données $a=0,\ b=2\pi,\ c=1,\ \alpha=1,\ \beta=-1$ et $f:x\mapsto\cos(x^2),$ écrire un programme permettant de résoudre l'EDP précédente. On pourra utiliser la fonction ${\pmb X}\leftarrow {\rm Solve}({\mathbb A},{\pmb B})$ retournant la solution du système linéaire ${\mathbb A}{\pmb X}={\pmb B}$.
- Q.3 En choisissant judicieusement un jeu de données écrire un programme permettant de vérifier l'ordre du schéma utilisé à l'aide de la formule (4.40).

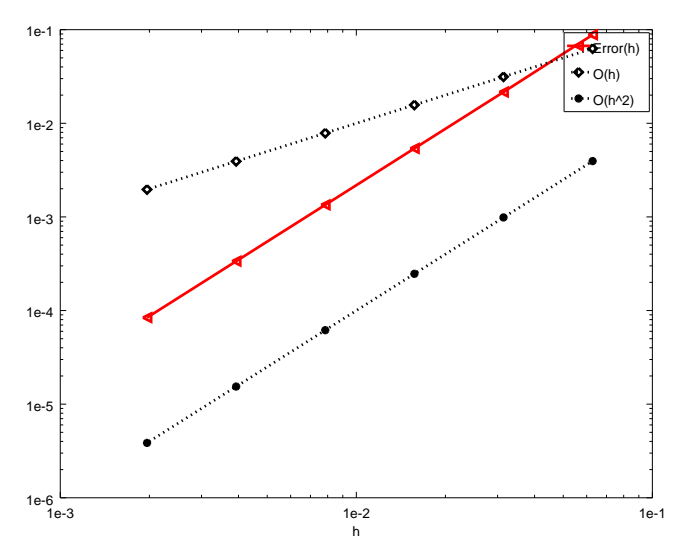


Figure : Représentation en échelle logarithmique

```
function M=AssembleMatiD(d,alpha,beta,gamma)

M=sparse(d,d);
M(1,1)=gamma;M(d,d)=gamma;
for i=2:d-1

M(i,i)=alpha;
M(i,i-1)=beta;M(i,i+1)=beta;
end
end
```

Listing 1: fonction Matlab/Octave AssembleMat1D

Listing 2 : fonction Matlab/Octave solveEDP1

```
clear all
close all
   % Initialisation des données
   uex = 0(x) sin(x.^2);
f = Q(x) + 4 \times x^2 \times \sin(x^2) - 2 \times \cos(x^2) + \cos(x^2)
  a = 0; b = 2 * pi;
  % Calcul des erreurs
   LN = [100, 200, 400, 800, 1600, 3200]:
   k = 1 :
   for N=LN
     [x,U] = solveEDP1(a,b,c,uex(a),uex(b),f,N);
    H(k) = (b - a) / N:
     E(k) = max (abs (uex(x), -U));
     k = k + 1:
   % Representation graphique
   loglog(H,E,'r<-','LineWidth',2)
  hold on
  loglog(H,H,'kd:','LineWidth',2)
21 loglog(H, H. ^2, 'k*: ', 'LineWidth', 2)
  legend ('Error (h)', 'O(h)', 'O(h^2)')
23 xlabel('h')
```

Listing 3 : Script Matlab/Octave pour la représentation de l'ordre

- Exemples d'E.D.P.
 - Equation de Laplace/Poisson
 - Equation de la chaleur
 - Equation des ondes
- Méthodes de résolution numérique d'EDP
- Opérateurs aux différences finies
 - Dimension 1

- Dimension n > 1
- Méthode des différences finies 1D
 - EDP stationnaire 1D + Dirichlet
 - EDP stationnaire + CL mixtes
- 5 Problème modèle évolutif
 - Schéma explicite
 - Schéma implicite

EDP stationnaire + CL mixtes



à droite et Neumann à gauche

Trouver $u:[a,b] \longrightarrow \mathbb{R}$ telle que

$$-u'' + cu = f \text{ in }]a, b[, \tag{4.42}$$

$$u(a) = \alpha, (4.43)$$

$$u'(b) = \beta. (4.44$$

Seule la dernière ligne du système linéaire est à modifier! Remplacer par ???

EDP stationnaire + CL mixtes



- EDP modèle stationnaire 1D avec condition de Dirichlet à droite et Neumann à gauche

Trouver $u:[a,b] \longrightarrow \mathbb{R}$ telle que

$$-u'' + cu = f \text{ in }]a, b[,$$
 (4.42)

$$u(a) = \alpha, (4.43)$$

$$u'(b) = \beta. (4.44$$

Seule la dernière ligne du système linéaire est à modifier! Remplacer par ???

$$u'(x_N) = (D_h^+ u)(x_N) + \mathcal{O}(h) = \frac{u(x_N) - u(x_{N-1})}{h} + \mathcal{O}(h) = \beta.$$

EDP stationnaire + CL mixtes



- EDP modèle stationnaire 1D avec condition de Dirichlet à droite et Neumann à gauche

Trouver $u:[a,b] \longrightarrow \mathbb{R}$ telle que

$$-u'' + cu = f \text{ in }]a, b[,$$
 (4.42)

$$u(a) = \alpha, (4.43)$$

$$u'(b) = \beta. (4.44$$

Seule la dernière ligne du système linéaire est à modifier! Remplacer par ???

$$u'(x_N) = (D_h^+ u)(x_N) + \mathcal{O}(h) = \frac{u(x_N) - u(x_{N-1})}{h} + \mathcal{O}(h) = \beta.$$

$$\frac{u_N - u_{N-1}}{h} = \beta. \tag{4.45}$$

$$\begin{cases} u_0 & = \alpha & \leftarrow \text{eq. en } x_0 \\ -u_2 + \mu u_1 - u_0 & = h^2 f(x_1) & \leftarrow \text{eq. en } x_1 \\ -u_3 + \mu u_2 - u_1 & = h^2 f(x_2) & \leftarrow \text{eq. en } x_2 \end{cases}$$

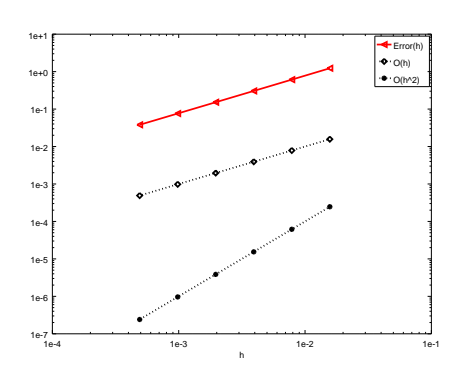
$$\vdots$$

$$-u_{N-1} + \mu u_{N-2} - u_{N-3} & = h^2 f(x_{N-2}) & \leftarrow \text{eq. en } x_{N-2} \\ -u_N + \mu u_{N-1} - u_{N-2} & = h^2 f(x_{N-1}) & \leftarrow \text{eq. en } x_{N-1} \\ u_N - u_{N-1} & = h\beta & \leftarrow \text{eq. en } x_N \end{cases}$$

Mais ...

◆□▶ ◆□▶ ◆臺▶ ◆臺▶ · 臺 · 釣९♡

Schéma d'ordre 1 !!!

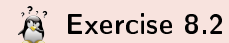


(a) Représentation en échelle logarithmique de l'ordre du schéma

(b) Représentation de l'erreur en fonction de x pour N = 1600

Ecrire un schéma d'ordre 2 pour Neumann

TD



Soit φ une fonction suffisament régulière et h > 0

Q.1 Montrer que

$$\frac{d\varphi}{dx}(x) = \frac{-3\varphi(x) + 4\varphi(x+h) - \varphi(x+2h)}{2h} + \mathcal{O}(h^2) \tag{4.47}$$

Q.2 Montrer que

$$\frac{d\varphi}{dx}(x) = \frac{3\varphi(x) - 4\varphi(x - h) + \varphi(x - 2h)}{2h} + \mathcal{O}(h^2)$$
 (4.48)



$$\begin{cases} u_0 & = & \alpha & \leftarrow \text{eq. en } x_0 \\ -u_2 + \mu u_1 - u_0 & = & f(x_1) & \leftarrow \text{eq. en } x_1 \\ -u_3 + \mu u_2 - u_1 & = & f(x_2) & \leftarrow \text{eq. en } x_2 \end{cases}$$

$$\vdots$$

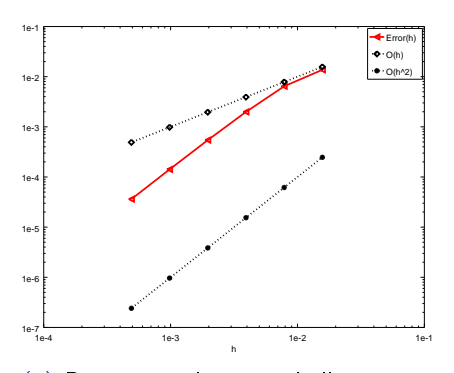
$$-u_{N-1} + \mu u_{N-2} - u_{N-3} & = & f(x_{N-2}) & \leftarrow \text{eq. en } x_{N-2} \\ -u_N + \mu u_{N-1} - u_{N-2} & = & f(x_{N-1}) & \leftarrow \text{eq. en } x_{N-1} \\ 3u_N - 4u_{N-1} + u_{N-2} & = & 2h\beta & \leftarrow \text{eq. en } x_N \end{cases}$$

$$\mathbb{A}\boldsymbol{U} \stackrel{\text{def}}{=} \begin{pmatrix} 1 & 0 & \dots & \dots & 0 & 0 & 0 \\ -1 & \mu & -1 & 0 & \dots & \dots & 0 & 0 \\ 0 & -1 & \mu & -1 & 0 & \dots & 0 & 0 \\ 0 & 0 & \ddots & \ddots & \ddots & \vdots & \vdots & \vdots \\ \vdots & \vdots & \ddots & \ddots & \ddots & \ddots & \vdots & \vdots \\ \vdots & 0 & \dots & 0 & 1 & \mu & -1 & 0 \\ 0 & 0 & \dots & \dots & 0 & -1 & \mu & -1 \\ \hline 0 & \dots & \dots & 1 & -4 & 3 \end{pmatrix} \begin{pmatrix} u_0 \\ u_1 \\ u_2 \\ \vdots \\ u_{N-2} \\ u_{N-1} \\ u_{N} \end{pmatrix} = \begin{pmatrix} \alpha \\ h^2 f(x_1) \\ h^2 f(x_2) \\ \vdots \\ h^2 f(x_{N-2}) \\ h^2 f(x_{N-1}) \\ \hline 2h\beta \end{pmatrix}$$

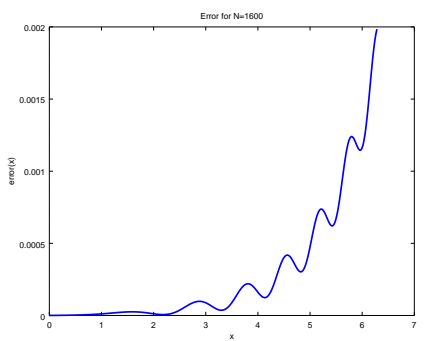
et ...

Méthode des différences finies 1D

Schéma d'ordre 2



(a) Représentation en échelle logarithmique de l'ordre du schéma



(b) Représentation de l'erreur en fonction de x pour N = 1600

Exercise 8.3

Soit le problème suivant

$$-u''(x) + c(x)u(x) = f(x), \ \forall x \in]a; b[, \tag{4.55}$$

$$u'(a) = \alpha,$$
 (4.56)
 $u(b) = \beta.$ (4.57)

où c est une fonction positive.

0.1

- Quelles sont les données du problème (4.55)-(4.57)? (préciser le type de chaque donnée : réel, entier, fonction, vecteur, ...)
- Quelles sont les inconnues du problème (4.55)-(4.57)? (préciser le type)
- Quelles sont les conditions initiales?
- Quelles sont les conditions aux limites?
- Q.2 Construire une discrétisation régulière de [a; b] avec N pas de discrétisation en espace. On note x_i , $i \in [0, N]$ cette discrétisation. On souhaite résoudre (4.55) à l'aide du schéma numérique

$$-\frac{u_{i+1} - 2u_i + u_{i-1}}{\Delta x^2} + c_i u_i = f_i.$$
 (4.58)

Q.3

- Expliquer comment le schéma (4.58) a été obtenu à partir de (4.55) et préciser ce que représente les termes u_i, f_i, c_i et Δx?
- Donner l'ensemble & des valeurs que peut prendre i dans le schéma (4.55).
- Onstruire une discrétisation des conditions aux limites d'ordre 2 au moins
- Le schéma global est de quel ordre? Justifiez.

On note V le vecteur de dimension N+1, de composantes $V_i=u_{i-1}, \forall i\in [1,N+1]$.

Q.4 Montrer que le vecteur V est solution du système linéaire

$$AV = F \tag{4.59}$$

en explicitant la matrice A et le vecteur F (préciser les dimensions).

Q.5 Ecrire un algorithme complet de résolution du problème (4.55) à (4.57) basé sur (4.59). (Utiliser au maximum les fonctions). On pourra utiliser la fonction $X \leftarrow \text{Solve}(\mathbb{A}, B)$ retournant la solution du système linéaire $\mathbb{A}X = B$. EDP stationnaire + CL mixtes

44 / 85

(4.57)

Plan

- Exemples d'E.D.P.
 - Equation de Laplace/Poisson
 - Equation de la chaleur
 - Equation des ondes
- 2 Méthodes de résolution numérique d'EDP
- Opérateurs aux différences finies
 - Dimension 1

- Dimension n > 1
- 4 Méthode des différences finies 1D
 - EDP stationnaire 1D + Dirichlet
 - EDP stationnaire + CL mixtes
- Problème modèle évolutif
 - Schéma explicite
 - Schéma implicite

- Exemples d'E.D.P.
 - Equation de Laplace/Poisson
 - Equation de la chaleur
 - Equation des ondes
- 2 Méthodes de résolution numérique d'EDP
- Opérateurs aux différences finies
 - Dimension 1

- Dimension n > 1
- 4 Méthode des différences finies 1D
 - EDP stationnaire 1D + Dirichlet
 - EDP stationnaire + CL mixtes
- Problème modèle évolutif
 - Schéma explicite
 - Schéma implicite

EDP modèle instationnaire en dimension 1 : équation de la chaleur

Trouver $u:[0,T]\times[a,b]\longrightarrow\mathbb{R}$ telle que

$$\frac{\partial u}{\partial t}(t,x) - D\frac{\partial^2 u}{\partial x^2}(t,x) = f(t,x), \quad \forall (t,x) \in]0,T] \times]a,b[, (4.76)$$

$$u(0,x) = u_0(x), \quad \forall x \in [a,b] (4.77)$$

$$-D\frac{\partial u}{\partial x}(t,a) = \alpha(t), \quad \forall t \in [0,T] (4.78)$$

$$u(t,b) = \beta(t), \quad \forall t \in [0,T] (4.79)$$

où a < b, D > 0 (coefficient de diffusivité), $\alpha : [0, T] \longrightarrow \mathbb{R}$, $\beta : [0, T] \longrightarrow \mathbb{R}, \ u_0 : [a, b] \longrightarrow \mathbb{R}$ et $f : [0, T] \times [a, b] \longrightarrow \mathbb{R}$ donnés. condition de compatibilité :

$$u_0(b) = \beta(0).$$
 (4.80)

- 4 ロ ト 4 個 ト 4 差 ト 4 差 ト - 差 - 夕 Q (C)

Problème modèle évolutif

2018/03/05

$$x_i = a + i\Delta_x,$$
 $\forall i \in [0, N_x],$ avec $\Delta_x = (b - a)/N_x$
 $t^n = n\Delta_t,$ $\forall n \in [0, N_t],$ avec $\Delta_t = T/N_t.$

Objectif: Trouver $u_i^n \approx u(t^n, x_i), \forall n \in [0, N_t], \forall i \in [0, N_x]$

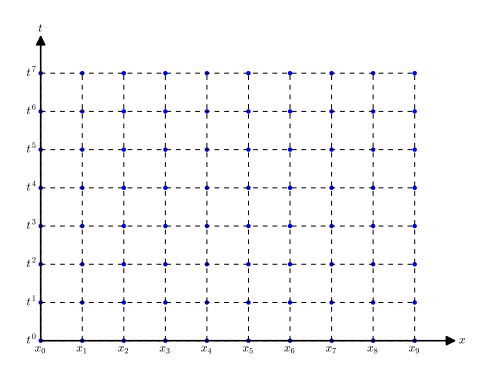


Figure : Représentation d'une grille espace-temps avec $N_t = 7$ et $N_x = 9$. Les noeuds de la grille sont les points bleus.

©-EDP modèle d'évolution en dimension 1 : équation de la chaleur, formulation aux points de discrétisation

Trouver $u(t^n, x_i) \in \mathbb{R}, \forall n \in [0, N_t], \forall i \in [0, N_x], \text{ tels que}$

$$\frac{\partial u}{\partial t}(t^n, x_i) - D\frac{\partial^2 u}{\partial x^2}(t^n, x_i) = f(t^n, x_i), \tag{4.81}$$

$$u(t^0, x_i) = u_0(x_i), \qquad \forall i \in [0, N_x],$$
 (4.82)

$$-D\frac{\partial u}{\partial x}(t^n, x_0) = \alpha(t^n), \qquad \forall n \in [0, N_t] \qquad (4.83)$$

$$u(t^n, x_{N_x}) = \beta(t^n), \qquad \forall n \in [0, N_t] \qquad (4.84)$$

⇒ il nous faut maintenant discrétiser les opérateurs de dérivation

$$\frac{\partial u}{\partial t}$$
, $\frac{\partial^2 u}{\partial x^2}$ et $\frac{\partial u}{\partial x}$



On déduit des développements de Taylor :

$$\frac{\partial^2 u}{\partial x^2}(t, \mathbf{x}) = \frac{u(t, \mathbf{x} + \mathbf{h}) - 2u(t, \mathbf{x}) + u(t, \mathbf{x} - \mathbf{h})}{h^2} + \mathcal{O}(h^2)$$

Avec $h = \Delta_x$ on obtient

$$\frac{\partial^2 u}{\partial x^2}(t^n, x_i) = \frac{u(t^n, x_{i+1}) - 2u(t^n, x_i) + u(t^n, x_{i-1})}{\Delta_x^2} + \mathcal{O}(\Delta_x^2)$$
(4.85)



On déduit des développements de Taylor :

$$\frac{\partial u}{\partial t}(t,x) = \frac{u(t+h,x) - u(t,x)}{h} + \mathcal{O}(h)$$

$$\frac{\partial u}{\partial t}(t,x) = \frac{u(t,x) - u(t-h,x)}{h} + \mathcal{O}(h).$$

Avec $h = \Delta_t$ on obtient

$$\frac{\partial u}{\partial t}(t^n, x_i) = \frac{u(t^{n+1}, x_i) - u(t^n, x_i)}{\Delta_t} + \mathcal{O}(\Delta_t) \qquad (4.86)$$

$$\frac{\partial u}{\partial t}(t^n, x_i) = \frac{u(t^n, x_i) - u(t^{n-1}, x_i)}{\Delta_t} + \mathcal{O}(\Delta_t). \qquad (4.87)$$

Problème modèle évolutif

On déduit des développements de Taylor :

Problème modèle évolutif

$$\begin{array}{lll} \frac{\partial u}{\partial x}(t,x) & = & \frac{u(t,x+h)-u(t,x)}{h} + \mathcal{O}(h) \\ \frac{\partial u}{\partial x}(t,x) & = & \frac{u(t,x)-u(t,x-h)}{h} + \mathcal{O}(h) \\ \frac{\partial u}{\partial x}(t,x) & = & \frac{u(t,x+h)-u(t,x-h)}{2h} + \mathcal{O}(h^2) \\ \frac{\partial u}{\partial x}(t,x) & = & \frac{-3u(t,x)+4u(t,x+h)-u(t,x+2h)}{2h} + \mathcal{O}(h^2) \\ \frac{\partial u}{\partial x}(t,x) & = & \frac{3u(t,x)-4u(t,x-h)+u(t,x-2h)}{2h} + \mathcal{O}(h^2) \end{array}$$

On veut approcher $\frac{\partial u}{\partial x}(t^n,x_0)$ à l'ordre $2!\Rightarrow$ 4ème approximation. Avec $h=\Delta_x$ on obtient

$$\frac{\partial u}{\partial x}(t^n, x_0) = \frac{-3u(t^n, x_0) + 4u(t^n, x_1) - u(t^n, x_2)}{2\Delta_x} + \mathcal{O}(\Delta_x^2)$$
(4.88)

4 □ > 4 를 > 4 를 > 1 를 - 1 의

2018/03/05

52 / 85

- Exemples d'E.D.P
 - Equation de Laplace/Poisson
 - Equation de la chaleur
 - Equation des ondes
- 2 Méthodes de résolution numérique d'EDP
- Opérateurs aux différences finies
 - Dimension 1

- Dimension n > 1
- 4 Méthode des différences finies 1D
 - EDP stationnaire 1D + Dirichlet
 - EDP stationnaire + CL mixtes
- Problème modèle évolutif
 - Schéma explicite
 - Schéma implicite

On rappelle (54)

$$\frac{\partial u}{\partial t}(t^n, x_i) - D\frac{\partial^2 u}{\partial x^2}(t^n, x_i) = f(t^n, x_i), \quad \forall n \in]0, N_t], \quad \forall i \in]0, N_x[[,$$

qui devient avec (4.86) et (4.85)

$$\frac{u(t^{n+1}, x_i) - u(t^n, x_i)}{\Delta_t} + \mathcal{O}(\Delta_t)$$

$$-D\frac{u(t^n, x_{i+1}) - 2u(t^n, x_i) + u(t^n, x_{i-1})}{\Delta_x^2} + \mathcal{O}(\Delta_x^2) = f(t^n, x_i)$$
 (4.94)

avec $n \in [0, N_t[$ et $i \in]0, N_x[$.

En utilisant (4.87) en lieu et place de (4.86) on obtient un schéma implicite...

Un schéma numérique d'ordre 1 en temps et d'ordre 2 en espace pour (54): $\forall n \in [0, N_t[, \forall i \in]0, N_x[$

$$\frac{\mathbf{u}_{i}^{n+1} - \mathbf{u}_{i}^{n}}{\Delta_{t}} - D \frac{\mathbf{u}_{i+1}^{n} - 2\mathbf{u}_{i}^{n} + \mathbf{u}_{i-1}^{n}}{\Delta_{x}^{2}} = \mathbf{f}_{i}^{n}$$
 (4.95)

avec $f_i^n = f(t^n, x_i)$ et (en espérant) $u_i^n \approx u(t^n, x_i)$. (4.95) est équivalent à

$$\mathbf{u}_{i}^{n+1} = \mathbf{u}_{i}^{n} + D \frac{\Delta_{t}}{\Delta_{x}^{2}} \left(\mathbf{u}_{i+1}^{n} - 2\mathbf{u}_{i}^{n} + \mathbf{u}_{i-1}^{n} \right) + \Delta_{t} \mathbf{f}_{i}^{n}$$
(4.96)

Et (4.82), (4.83), (4.84)?

On rappelle respectivement (4.82) et (4.84):

$$u(t^{0}, x_{i}) = u_{0}(x_{i}), \qquad \forall i \in [0, N_{x}]$$

$$u(t^{n}, x_{N_{x}}) = \beta(t^{n}), \qquad \forall n \in [0, N_{t}]$$

qui donne immédiatement (sans approximation)

$$\mathbf{u}_{i}^{0} = u_{0}(x_{i}), \qquad \forall i \in [0, N_{x}]$$

$$\mathbf{u}_{N_{x}}^{n} = \beta(t^{n}), \qquad \forall n \in [0, N_{t}] \qquad (4.97)$$

Et (4.83)?

On rappelle (4.83) $\forall n \in \llbracket 0, N_t \rrbracket$

$$-D\frac{\partial u}{\partial x}(t^n,x_0)=\alpha(t^n)$$

qui donne avec (4.88)

$$-D\frac{-3u(t^{n},x_{0})+4u(t^{n},x_{1})-u(t^{n},x_{2})}{2\Delta_{x}}+\mathcal{O}(\Delta_{x}^{2})=\alpha(t^{n})$$

Un schéma numérique d'ordre 2 en espace pour (4.83):

$$-D\frac{-3\boldsymbol{u}_0^n+4\boldsymbol{u}_1^n-\boldsymbol{u}_2^n}{\Delta_x}=\alpha(t^n)$$

ou encore

$$\mathbf{u}_{0}^{n} = \frac{1}{3} \left(\frac{2\Delta_{x}}{D} \alpha(t^{n}) + 4\mathbf{u}_{1}^{n} - \mathbf{u}_{2}^{n} \right).$$
 (4.105)

En résumé, avec $E=D\frac{\Delta_t}{\Delta_x^2}$ et C=1-2E

$$\boldsymbol{u}_{i}^{n+1} = C\boldsymbol{u}_{i}^{n} + E(\boldsymbol{u}_{i+1}^{n} + \boldsymbol{u}_{i-1}^{n}) + \Delta_{t}\boldsymbol{f}_{i}^{n}, \qquad \begin{cases} \forall n \in [0, N_{t}[], \\ \forall i \in]0, N_{x}[] \end{cases}$$
(4.96)

$$\mathbf{u}_i^0 = u_0(x_i), \qquad \forall i \in \llbracket 0, N_x \rrbracket \qquad (4.106)$$

$$\boldsymbol{u}_0^n = \frac{1}{3} \left(\frac{2\Delta_x}{D} \alpha(t^n) + 4\boldsymbol{u}_1^n - \boldsymbol{u}_2^n \right), \qquad \forall n \in [0, N_t] \qquad (4.105)$$

$$\boldsymbol{u}_{N_{\mathsf{x}}}^{n} = \beta(t^{n}), \qquad \forall n \in [0, N_{t}] \qquad (4.97)$$

Peut-on calculer $(\boldsymbol{u}_i^{n+1})_{i=0}^{N_x}$ connaissant $(\boldsymbol{u}_i^n)_{i=0}^{N_x}$?

$$\boldsymbol{u}_i^{n+1} = \tag{4.107}$$

$$u_{N_{\nu}}^{n+1} =$$
 (4.108)

$$u_0^{n+1} = (4.109)$$

2018/03/05

En résumé, avec $E=D\frac{\Delta_t}{\Delta_x^2}$ et C=1-2E

$$\boldsymbol{u}_{i}^{n+1} = C\boldsymbol{u}_{i}^{n} + E(\boldsymbol{u}_{i+1}^{n} + \boldsymbol{u}_{i-1}^{n}) + \Delta_{t}\boldsymbol{f}_{i}^{n}, \qquad \begin{cases} \forall n \in \llbracket 0, N_{t} \llbracket, \\ \forall i \in \rrbracket 0, N_{x} \llbracket \end{cases}$$
(4.96)

$$\mathbf{u}_i^0 = u_0(x_i), \qquad \forall i \in \llbracket 0, N_x \rrbracket \qquad (4.106)$$

$$\boldsymbol{u}_0^n = \frac{1}{3} \left(\frac{2\Delta_x}{D} \alpha(t^n) + 4\boldsymbol{u}_1^n - \boldsymbol{u}_2^n \right), \qquad \forall n \in [0, N_t] \qquad (4.105)$$

$$\boldsymbol{u}_{N_{x}}^{n} = \beta(t^{n}), \qquad \forall n \in [0, N_{t}] \qquad (4.97)$$

Peut-on calculer $(\boldsymbol{u}_i^{n+1})_{i=0}^{N_x}$ connaissant $(\boldsymbol{u}_i^n)_{i=0}^{N_x}$?

$$\mathbf{u}_{i}^{n+1} = C\mathbf{u}_{i}^{n} + E(\mathbf{u}_{i+1}^{n} + \mathbf{u}_{i-1}^{n}) + \Delta_{t}\mathbf{f}_{i}^{n}, \ \forall i \in]0, N_{x}[,$$
(4.107)

$$u_{N_{-}}^{n+1} = (4.108)$$

$$u_0^{n+1} = (4.109)$$

En résumé, avec $E=D\frac{\Delta_t}{\Delta^2}$ et C=1-2E

$$\boldsymbol{u}_{i}^{n+1} = C\boldsymbol{u}_{i}^{n} + E(\boldsymbol{u}_{i+1}^{n} + \boldsymbol{u}_{i-1}^{n}) + \Delta_{t}\boldsymbol{f}_{i}^{n}, \qquad \begin{cases} \forall n \in [0, N_{t}[], \\ \forall i \in]0, N_{x}[] \end{cases}$$
(4.96)

$$\mathbf{u}_i^0 = u_0(x_i), \qquad \forall i \in \llbracket 0, N_x \rrbracket \qquad (4.106)$$

$$\boldsymbol{u}_0^n = \frac{1}{3} \left(\frac{2\Delta_x}{D} \alpha(t^n) + 4\boldsymbol{u}_1^n - \boldsymbol{u}_2^n \right), \qquad \forall n \in [0, N_t] \qquad (4.105)$$

$$\boldsymbol{u}_{N_{x}}^{n} = \beta(t^{n}), \qquad \forall n \in [0, N_{t}] \qquad (4.97)$$

Peut-on calculer $(\boldsymbol{u}_{i}^{n+1})_{i=0}^{N_{x}}$ connaissant $(\boldsymbol{u}_{i}^{n})_{i=0}^{N_{x}}$?

$$\mathbf{u}_{i}^{n+1} = C\mathbf{u}_{i}^{n} + E(\mathbf{u}_{i+1}^{n} + \mathbf{u}_{i-1}^{n}) + \Delta_{t}\mathbf{f}_{i}^{n}, \ \forall i \in]0, N_{x}[,$$
(4.107)

$$\mathbf{u}_{N_{\nu}}^{n+1} = \beta(t^{n+1}),\tag{4.108}$$

$$u_0^{n+1} = (4.109)$$

2018/03/05

En résumé, avec $E=D\frac{\Delta_t}{\Delta_z^2}$ et C=1-2E

$$\boldsymbol{u}_{i}^{n+1} = C\boldsymbol{u}_{i}^{n} + E(\boldsymbol{u}_{i+1}^{n} + \boldsymbol{u}_{i-1}^{n}) + \Delta_{t}\boldsymbol{f}_{i}^{n}, \qquad \begin{cases} \forall n \in [0, N_{t}[], \\ \forall i \in]0, N_{x}[] \end{cases}$$
(4.96)

$$\mathbf{u}_i^0 = u_0(x_i), \qquad \forall i \in \llbracket 0, N_x \rrbracket \qquad (4.106)$$

$$\boldsymbol{u}_0^n = \frac{1}{3} \left(\frac{2\Delta_x}{D} \alpha(t^n) + 4\boldsymbol{u}_1^n - \boldsymbol{u}_2^n \right), \qquad \forall n \in [0, N_t] \qquad (4.105)$$

$$\boldsymbol{u}_{N_{x}}^{n} = \beta(t^{n}), \qquad \forall n \in [0, N_{t}] \qquad (4.97)$$

Peut-on calculer $(\boldsymbol{u}_i^{n+1})_{i=0}^{N_x}$ connaissant $(\boldsymbol{u}_i^n)_{i=0}^{N_x}$?

$$\mathbf{u}_{i}^{n+1} = C\mathbf{u}_{i}^{n} + E(\mathbf{u}_{i+1}^{n} + \mathbf{u}_{i-1}^{n}) + \Delta_{t}\mathbf{f}_{i}^{n}, \ \forall i \in]0, N_{x}[,$$
(4.107)

$$\mathbf{u}_{N_{x}}^{n+1} = \beta(t^{n+1}), \tag{4.108}$$

$$\mathbf{u}_0^{n+1} = \frac{1}{3} \left(\frac{2\Delta_x}{D} \alpha(t^{n+1}) + 4\mathbf{u}_1^{n+1} - \mathbf{u}_2^{n+1} \right). \tag{4.109}$$

L'algorithme formel est donc le suivant :

1:
$$\boldsymbol{u}_{i}^{0} \leftarrow u_{0}(x_{i}), \ \forall i \in [\![0,N_{x}]\!]$$

2: Pour $n \leftarrow 0$ à $N_{t} - 1$ faire
3: $\boldsymbol{u}_{i}^{n+1} \leftarrow C\boldsymbol{u}_{i}^{n} + E(\boldsymbol{u}_{i+1}^{n} + \boldsymbol{u}_{i-1}^{n}) + \Delta_{t}\boldsymbol{f}_{i}^{n}, \ \forall i \in]\![0,N_{x}[\![0,T]\!]$
4: $\boldsymbol{u}_{N_{x}}^{n+1} \leftarrow \beta(t^{n+1})$
5: $\boldsymbol{u}_{0}^{n+1} \leftarrow \frac{1}{3}\left(\frac{2\Delta_{x}}{D}\alpha(t^{n+1}) + 4\boldsymbol{u}_{1}^{n+1} - \boldsymbol{u}_{2}^{n+1}\right)$
6: Fin Pour



Exercise 9.1

- **Q.1** Ecrire une fonction algorithmique HEAT1DEX permettant de retourner la discrétisation en temps, la discrétisation en espace et l'ensemble des \boldsymbol{u}_{i}^{n} , $i \in [0, N_{x}], n \in [1, N_{t}]$ calculés par le schéma explicite en temps pour l'EDP (54) à (4.84).
- **Q.2** Ecrire un programme utilisant cette fonction et permettant de calculer la solution numérique d'un problème dont on connait la solution exacte.

Schéma explicite en temps pour l'EDP (54) à (4.84)

Données: a, b: deux réels a < b,

```
T: T > 0,

D: D réel strictement positif, (coefficient de diffusivité)

f: f: [0, T] \times [a, b] \longrightarrow \mathbb{R},

u_0: u_0: [a, b] \longrightarrow \mathbb{R},

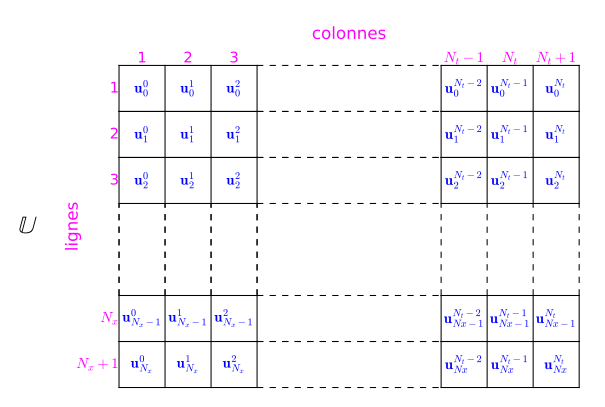
\alpha: \alpha: [0, T] \longrightarrow \mathbb{R}.
```

 β : $\beta:[0,T] \longrightarrow \mathbb{R}$, tel que $\beta(0)=u_0(b)$,

 N_x : $N_x \in \mathbb{N}^*$, nombre de discrétisation en espace, N_t : $N_t \in \mathbb{N}^*$, nombre de discrétisation en temps.

Schéma explicite en temps pour l'EDP (54) à (4.84)

Résultat: \mathbb{U} : tableau 2D/matrice $(N_x+1)\times(N_t+1)$ de réels tel que $\mathbb{U}(i+1,n+1)=\boldsymbol{u}_i^n, \ \forall i\in \llbracket 0,N_x\rrbracket, \ \forall n\in \llbracket 0,N_t\rrbracket.$



Algorithme 1 Fonction HEAT1DEX (version non vectorisée)

```
1: Fonction [t, x, \mathbb{U}] \leftarrow \text{HEAT1DEX} (a, b, T, D, f, u_0, \alpha, \beta, N_x, N_t)
          t \leftarrow \text{DisReg}(0, T, N_t)
         \Delta_t \leftarrow T/N_t
 3
      \mathbf{x} \leftarrow \text{DisReg}(a, b, N_{\mathbf{x}})
        \Delta_x \leftarrow (b-a)/N_x
 6
         E \leftarrow D \frac{\Delta_t}{\Lambda^2}, C \leftarrow 1 - 2E
          Pour i \leftarrow 1 à N_x + 1 faire
                                                                                                    7:
             \mathbb{U}(i,1) \leftarrow u_0(\mathbf{x}(i))
 8:
          Fin Pour
 9:
          Pour n \leftarrow 1 à N_t faire

→ Boucle en temps

10

    Schéma

             Pour i \leftarrow 2 à N_{\star} faire
11-
                 \mathbb{U}(i, n+1) \leftarrow C * \mathbb{U}(i, n) + E * (\mathbb{U}(i+1, n) + \mathbb{U}(i-1, n)) + \Delta_t * f(\mathbf{t}(n), \mathbf{x}(i))
12
             Fin Pour
13
             \mathbb{U}(N_x, n+1) \leftarrow \beta(\mathbf{t}(n+1))
14
             \mathbb{U}(1, n+1) \leftarrow (\frac{\Delta_{x}}{D} * \alpha(\mathbf{t}(n+1)) + 4\mathbb{U}(2, n+1) - \mathbb{U}(3, n+1))/3
15:
          Fin Pour
16:
17: Fin Fonction
```

Algorithme 2 Fonction HEAT 1DEX (version vectorisée)

```
1: Fonction [t, \mathbf{x}, \mathbb{U}] \leftarrow \text{HEAT1DEX} (a, b, T, D, f, u_0, \alpha, \beta, N_{\mathbf{x}}, N_t)
          t \leftarrow \text{DisReg}(0, T, N_t), \Delta_t \leftarrow T/N_t
          \mathbf{x} \leftarrow \text{DisReg}(a, b, N_{\mathbf{x}}), \Delta_{\mathbf{x}} \leftarrow (b-a)/N_{\mathbf{x}}
          E \leftarrow D \frac{\Delta_t}{\Delta^2}, C \leftarrow 1 - 2E
          \mathbb{U}(:,1) \leftarrow u_0(\mathbf{x})

    Condition initiale

          I \leftarrow [2:N_x]
                                                                                               Pour n \leftarrow 1 à N_t faire
 7.

→ Boucle en temps

              \mathbb{U}(I, n+1) \leftarrow C * \mathbb{U}(I, n) - E * (\mathbb{U}(I+1, n) + \mathbb{U}(I-1, n)) + \Delta_t * f(\mathbf{t}(n), \mathbf{x}(I))
 8.
              \mathbb{U}(N_{\times}, n+1) \leftarrow \beta(\mathbf{t}(n+1))
 9:
              \mathbb{U}(1, n+1) \leftarrow (\frac{\Delta_x}{D} * \alpha(\mathbf{t}(n+1)) + 4\mathbb{U}(2, n+1) - \mathbb{U}(3, n+1))/3
10:
          Fin Pour
11.
```

12 Fin Fonction

```
function [t,x,U] = Heat1DexLight(a,b,T,D,f,u0,alpha,beta,Nx,Nt)
    dt=T/Nt; t=0:dt:T:
    dx = (b-a)/Nx; x = [a:dx:b]';
    U=zeros(Nx+1,Nt+1):
    E = D*dt/dx^2: C = 1 - 2*E:
    I=2:Nx:
    U(:,1) = u0(x):
    for n=1:Nt
       U(I, n+1) = C*U(I, n) + E*(U(I+1, n)+U(I-1, n)) + ...
          dt*f(t(n).x(I)):
      U(Nx+1,n+1) = beta(t(n+1));
10
       U(1,n+1) = ((2*dx/D)*alpha(t(n+1)) + 4*U(2,n+1) - ...
          U(3,n+1))/3:
    end
12
13
  end
```

Listing 4 : fonction pour la résolution de l'EDP de la chaleur (54)-(4.84) par le schéma **explicite** (4.107)-(4.109)

Application avec solution exacte

On choisi

$$u(t,x) \stackrel{\mathsf{def}}{=} \cos(t)\cos(x)$$

et en injectant dans l'EDP on obtient

$$f(t,x) \stackrel{\text{def}}{=} D\cos(t)\cos(x) - \sin(t)\cos(x),$$

$$u_0(x) \stackrel{\text{def}}{=} \cos(x),$$

$$\alpha(t) \stackrel{\text{def}}{=} D\cos(t)\sin(a),$$

$$\beta(t) \stackrel{\text{def}}{=} \cos(t)\cos(b).$$

Calcul numérique avec

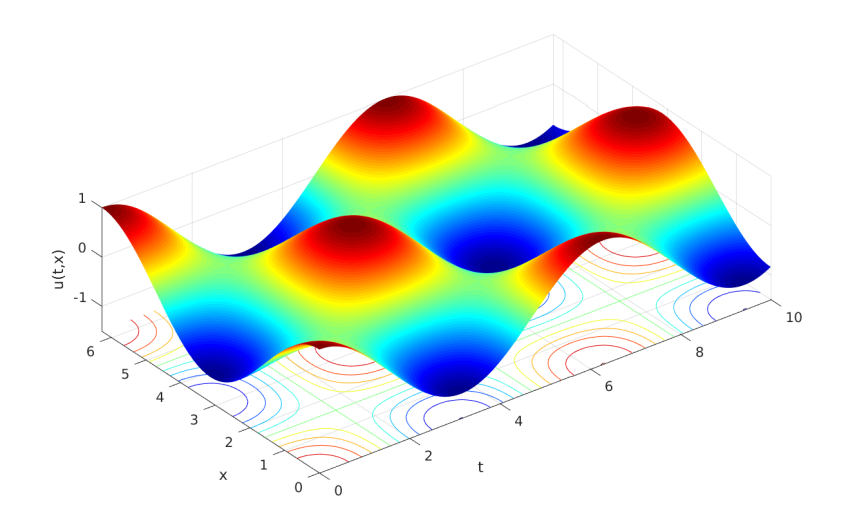
$$D=1,\ a=0,\ b=2\pi,\ T=10,\ N_{x}=50\ {\rm et}\ N_{t}=5000$$

Application avec solution exacte: numerical solution $N_x = 50$

```
a = 0; b = 2 * pi; Nx = 50;
T = 10; Nt = 5000
_{3} D = 1:
u=0(t,x)\cos(t).*\cos(x); % solution exacte
f = 0(t, x) D * cos(t) . * cos(x) - sin(t) . * cos(x);
6 beta = 0(t) u(t,b);
7 alpha=0(t) D*cos(t).*sin(a);
u0 = 0(x) \cos(x);
9 [t,x,U]=Heat1DexLight(a,b,T,D,f,u0,alpha,beta,Nx,Nt);
surfc(t,x,U)
  xlabel('t'), ylabel('x'), zlabel('u(t,x)')
11
12
  shading interp, colormap(jet)
  axis image
13
```

Listing 5 : Equation de la chaleur 1D avec solution exacte. Représentation de la solution calculée : code Matlab

Application avec solution exacte: numerical solution $N_x = 50$



Application avec solution exacte: error $N_x = 50$

```
[T,X]=meshgrid(t,x);

Uex=u(T,X);

figure(2)

pcolor(t,x,abs(U-Uex))

xlabel('t'),ylabel('x')

shading interp, colormap(jet)

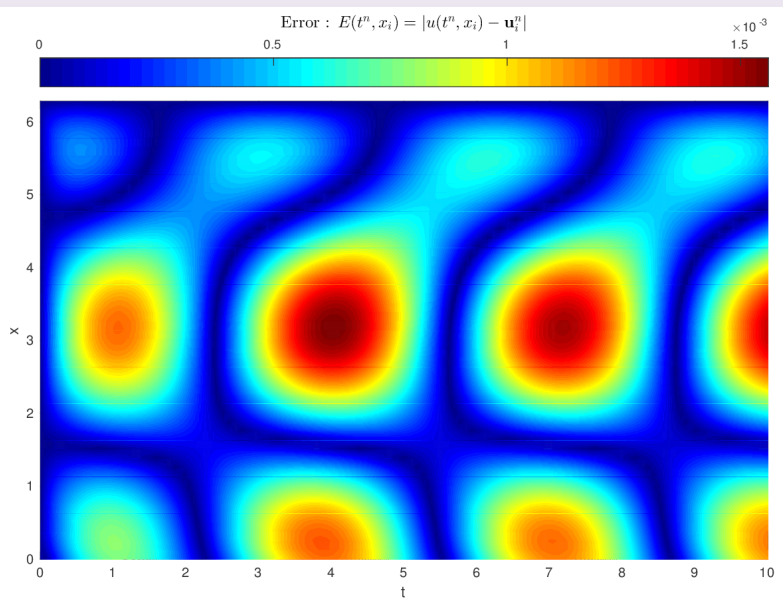
axis image

h=colorbar('Location','northoutside');

set(get(h,'title'),'string','Erroru:u...
$E(t^n,x_i)=|u(t^n,x_i)-\mathbf{u}_i^n|$', ...
'interpreter','latex','fontsize',12)
```

Listing 6: Equation de la chaleur 1D avec solution exacte. Représentation de l'erreur : code Matlab

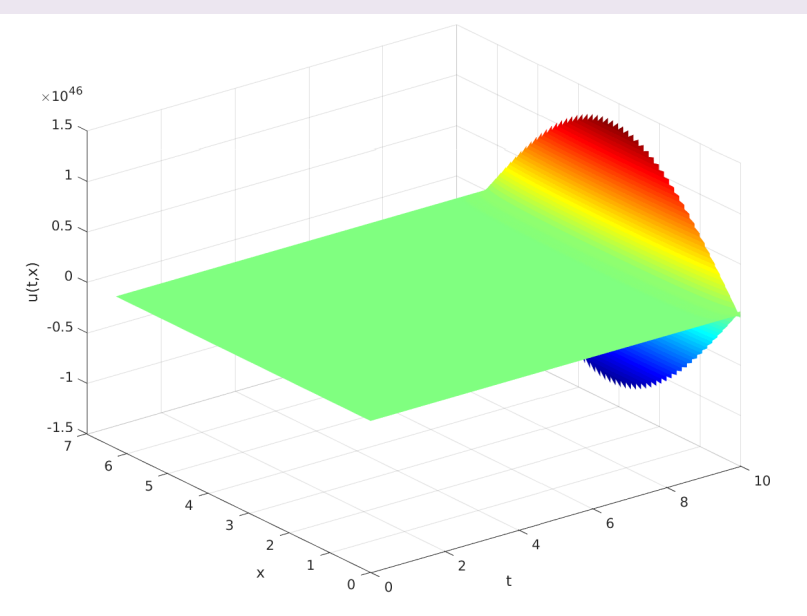
Application avec solution exacte: error $N_x = 50$



Application avec solution exacte: numerical solution $N_x = 100$

On change uniquement N_x : 50 \rightarrow 100 ! A quoi peut-on s'attendre?

Application avec solution exacte: numerical solution $N_x = 100$



Application avec solution exacte: Phénomène d'instabilité

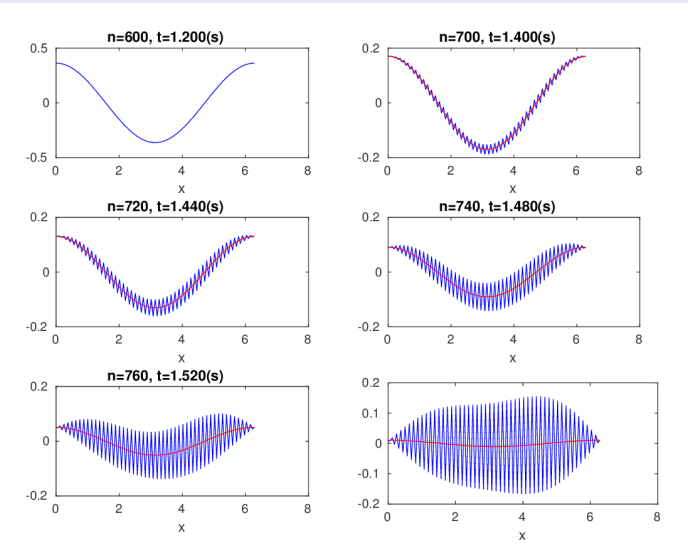


Figure : Equation de la chaleur 1D avec solution exacte (en rouge). Debut du phénomène d'instabilité.

Application avec solution exacte: Phénomène d'instabilité

Etude de la stabilité au sens de Von Neumann du schéma explicite donne la condition de C.F.L. (R. Courant, K. Friedrichs, and H. Lewy en 1928): le schéma est stable si

$$D\frac{\Delta_t}{dx^2} \leqslant \frac{1}{2}. (4.110)$$

Illustration: représenter en échelle logarithmique l'erreur commise en fonction de Δ_x et Δ_t calculée par

$$E(\Delta_{x}, \Delta_{t}) = \max_{i \in [0, N_{x}], n \in [0, N_{t}]} |\boldsymbol{u}_{i}^{n} - u_{\mathrm{ex}}(t^{n}, x_{i})|$$

où u_{ex} est la solution exacte.

Application avec solution exacte: Phénomène d'instabilité

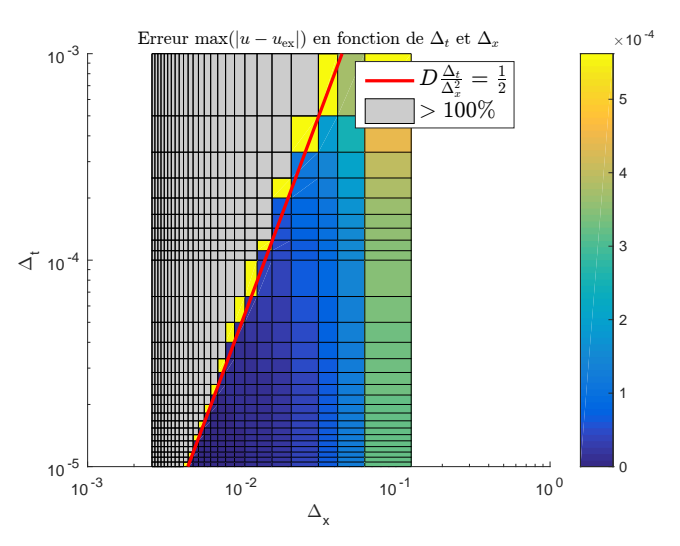


Figure : Equation de la chaleur 1D avec solution exacte. Condition de CFL.

- Exemples d'E.D.P.
 - Equation de Laplace/Poisson
 - Equation de la chaleur
 - Equation des ondes
- 2 Méthodes de résolution numérique d'EDP
- Opérateurs aux différences finies
 - Dimension 1

- Dimension n > 1
- 4 Méthode des différences finies 1D
 - EDP stationnaire 1D + Dirichlet
 - EDP stationnaire + CL mixtes
- Problème modèle évolutif
 - Schéma explicite
 - Schéma implicite



- EDP modèle d'évolution en dimension 1 : équation de la chaleur, formulation aux points de discrétisation

Trouver $u(t^n, x_i) \in \mathbb{R}, \forall n \in [0, N_t], \forall i \in [0, N_x], \text{ tels que}$

$$\frac{\partial u}{\partial t}(t^{n}, x_{i}) - D \frac{\partial^{2} u}{\partial x^{2}}(t^{n}, x_{i}) = f(t^{n}, x_{i}), \qquad (54)$$

$$u(t^{0}, x_{i}) = u_{0}(x_{i}), \qquad \forall i \in [0, N_{x}], \qquad (4.82)$$

$$-D \frac{\partial u}{\partial x}(t^{n}, x_{0}) = \alpha(t^{n}), \qquad \forall n \in [0, N_{t}] \qquad (4.83)$$

$$u(t^{n}, x_{N_{x}}) = \beta(t^{n}), \qquad \forall n \in [0, N_{t}] \qquad (4.84)$$

Pour approcher $\frac{\partial u}{\partial t}(t^n, x_i)$, on utilise cette fois

$$\frac{\partial u}{\partial t}(t^n, x_i) = \frac{u(t^n, x_i) - u(t^{n-1}, x_i)}{\Delta_t} + \mathcal{O}(\Delta_t). \tag{4.87}$$

Schéma implicite en temps pour l'EDP (54) à (4.84)

Un schéma numérique d'ordre 1 en temps et d'ordre 2 en espace pour (54): $\forall n \in]0, N_t], \ \forall i \in]0, N_x[$

$$\frac{\mathbf{u}_{i}^{n} - \mathbf{u}_{i}^{n-1}}{\Delta_{t}} - D \frac{\mathbf{u}_{i+1}^{n} - 2\mathbf{u}_{i}^{n} + \mathbf{u}_{i-1}^{n}}{\Delta_{x}^{2}} = \mathbf{f}_{i}^{n}, \tag{4.113}$$

avec $f_i^n = f(t^n, x_i)$ et (en espérant) $u_i^n \approx u(t^n, x_i)$. (4.116) est équivalent à

$$\mathbf{u}_{i}^{n} - D \frac{\Delta_{t}}{\Delta_{x}^{2}} \left(\mathbf{u}_{i+1}^{n} - 2 \mathbf{u}_{i}^{n} + \mathbf{u}_{i-1}^{n} \right) = \mathbf{u}_{i}^{n-1} + \Delta_{t} \mathbf{f}_{i}^{n}.$$
 (4.114)

Ce schéma est **implicite en temps** : il n'est pas possible de calculer explicitement u_i^n en fonction des u_i^{n-1} (au temps précédent).

Schéma implicite en temps pour l'EDP (54) à (4.84)

Le calcul des u_i^n , $\forall i \in [0, N_x]$, est possible en résolvant les $N_x + 1$ équations **linéaires** suivantes où l'on note $E = D\frac{\Delta_t}{\Delta_x^2}$ et C = 1 + 2E:

$$3\mathbf{u}_0^n - 4\mathbf{u}_1^n + \mathbf{u}_2^n = 2\frac{\Delta_x}{D}\alpha(t^n). \tag{4.115}$$

$$C\mathbf{u}_{i}^{n} - E(\mathbf{u}_{i+1}^{n} + \mathbf{u}_{i-1}^{n}) = \mathbf{u}_{i}^{n-1} + \Delta_{t}\mathbf{f}_{i}^{n}, \ \forall i \in]0, N_{x}[$$
 (4.116)

$$\boldsymbol{u}_{N_{x}}^{n} = \beta(t^{n}), \tag{4.117}$$

Schéma implicite en temps pour l'EDP (54) à (4.84)

$$\mathbb{A}\boldsymbol{U}^n = \boldsymbol{b}^n \tag{4.118}$$

avec $\mathbb{A} \in \mathcal{M}_{N_x+1}(\mathbb{R}), \, \boldsymbol{b}^n \in \mathbb{R}^{N_x+1}$ et

$$m{U}^n = egin{pmatrix} m{u}_0^n \ m{u}_1^n \ dots \ m{u}_{N_x-1}^n \ m{u}_{N_x}^n \end{pmatrix} \in \mathbb{R}^{N_x+1}, \quad \text{i.e. } m{U}^n(i) = m{u}_{i-1}^n, \ orall i \in \llbracket 1, N_x + 1
rbracket$$

$$\mathbb{A}U^n = \mathbf{b}^n \iff$$

$$\begin{pmatrix}
3 & -4 & 1 & 0 & \cdots & 0 & 0 \\
-E & C & -E & 0 & \cdots & 0 & 0 \\
0 & -E & C & -E & \ddots & \vdots & \vdots \\
\vdots & 0 & \ddots & \ddots & \ddots & 0 & \vdots \\
\vdots & \vdots & \vdots & -E & C & -E & 0 \\
0 & 0 & \dots & 0 & -E & C & -E \\
\hline
0 & 0 & \dots & 0 & 0 & 0 & 1
\end{pmatrix}
\begin{pmatrix}
\mathbf{u}_{0}^{n} \\
\mathbf{u}_{1}^{n} \\
\mathbf{u}_{1}^{n} \\
\mathbf{u}_{2}^{n} \\
\vdots \\
\mathbf{u}_{N_{x}-2}^{n} \\
\mathbf{u}_{N_{x}-1}^{n} \\
\mathbf{u}_{N_{x}-1}^{n-1} + \Delta_{t} \mathbf{f}_{N_{x}-2}^{n} \\
\mathbf{u}_{N_{x}-1}^{n-1} + \Delta_{t} \mathbf{f}_{N_{x}-2}^{n} \\
\mathbf{u}_{N_{x}-1}^{n-1} + \Delta_{t} \mathbf{f}_{N_{x}-1}^{n} \\
\mathbf{g}(t^{n})
\end{pmatrix}$$

$$(4.119)$$

L'algorithme formel est donc le suivant :

- 1: $\boldsymbol{U}_{i}^{0} \leftarrow u_{0}(x_{i}), \forall i \in \llbracket 0, N_{x} \rrbracket$
- 2: Pour $n \leftarrow 1$ à N_t faire
- 3: Calcul de U^n en résolvant le système linéaire (4.119)
- 4: Fin Pour





Q.1 Ecrire la fonction ASSEMBLEMATGEN1D retournant la matrice $\mathbb{M} \in \mathcal{M}_d(\mathbb{R})$ définie par

$$\mathbb{M} = \begin{pmatrix} a_1 & a_2 & a_3 & 0 & \dots & \dots & 0 \\ \beta & \alpha & \beta & 0 & \dots & \dots & 0 \\ 0 & \ddots & \ddots & \ddots & \ddots & \vdots \\ \vdots & \ddots & \ddots & \ddots & \ddots & \ddots & \vdots \\ \vdots & \ddots & \ddots & \ddots & \ddots & \ddots & 0 \\ 0 & \dots & \dots & 0 & \beta & \alpha & \beta \\ 0 & \dots & \dots & 0 & b_3 & b_2 & b_1 \end{pmatrix}$$

$$(4.120)$$

où α , β , a_1 , a_2 , a_3 , b_1 , b_2 et b_3 sont des réels donnés.

Q.2 Ecrire la fonction SNDMBRGEN1D retournant le vecteur $\pmb{B} \in \mathbb{R}^d$ défini par

$$\mathbf{B} = \begin{pmatrix} \alpha \\ c_1 \\ \vdots \\ c_{d-2} \\ \beta \end{pmatrix} \tag{4.121}$$

où α , β , c_1, \ldots, c_{d-2} sont des réels donnés.



Exercise 9.3

- **Q.1** Ecrire une fonction algorithmique HEAT1DIM permettant de retourner la discrétisation en temps, la discrétisation en espace et l'ensemble des \mathbf{u}_{i}^{n} , $i \in [0, N_{x}]$, $n \in [1, N_{t}]$ calculés par le schéma **implicite** en temps pour l'EDP (54) à (4.84).
- **Q.2** Ecrire un programme utilisant cette fonction et permettant de calculer la solution numérique d'un problème dont on connait la solution exacte.

Algorithme 3 Fonction HEAT1DIM (version non vectorisée)

```
1. Fonction [t, x, \mathbb{U}] \leftarrow \text{HEAT1DIM} (a, b, T, D, f, u_0, \alpha, \beta, N_x, N_t)
         t \leftarrow \text{DisReg}(0, T, N_t)
 3: \Delta_t \leftarrow T/N_t
 4: \mathbf{x} \leftarrow \text{DisReg}(a, b, N_{\mathbf{x}})
      \Delta_{x} \leftarrow (b-a)/N_{x}
       E \leftarrow D\frac{\Delta_t}{\Delta^2}, C \leftarrow 1 + 2E
 7:
         Pour i \leftarrow 1 à N_x + 1 faire
                                                                                                              \mathbb{U}(i,1) \leftarrow u_0(\mathbf{x}(i))
 8:
         Fin Pour
 9:
         \mathbb{A} \leftarrow \text{ASSEMBLEM atGen1D}(d, (3, -4, 1), (1, 0, 0), C, -E)
10
11:
         Pour n \leftarrow 1 à N_r faire
                                                                                                               Pour i \leftarrow 1 à N_x - 2 faire
12:

    Schéma

                 \mathbf{v}(i) \leftarrow \mathbb{U}(i+1,n) + \Delta_i f(\mathbf{t}(n), \mathbf{x}i)
13:
14:
         Fin Pour
         L \leftarrow 2(\Delta_x/D)\alpha(\mathbf{t}(n))
15
        \boldsymbol{B} \leftarrow \text{SNDMBRGEN1D}(d, \boldsymbol{v}, L, \beta(\boldsymbol{t}(n)))
16
            \mathbb{U}(:, n+1) \leftarrow \text{SOLVE}(\mathbb{A}, \boldsymbol{B})
17:
         Fin Pour
18:
19: Fin Fonction
```

Algorithme 4 Fonction HEAT1DIM (version vectorisée)

```
1: Fonction [t, x, \mathbb{U}] \leftarrow \text{HEAT1DIM} (a, b, T, D, f, u_0, \alpha, \beta, N_x, N_t)
          t \leftarrow \text{DisReg}(0, T, N_t)
 3: \Delta_t \leftarrow T/N_t
 4: \mathbf{x} \leftarrow \text{DisReg}(a, b, N_{\mathbf{x}})
 5: \Delta_x \leftarrow (b-a)/N_x
       E \leftarrow D\frac{\Delta_t}{\Lambda^2}, C \leftarrow 1 + 2E
 6:
         \mathbb{U}(:,1) \leftarrow u_0(\mathbf{x})

    Condition initiale

 7:
          \mathbb{A} \leftarrow \text{AssembleMatGen1d}(d, (3, -4, 1), (1, 0, 0), C, E)
 8:
          Pour n \leftarrow 1 à N_t faire

→ Boucle en temps

 9:
              \mathbf{v} \leftarrow \mathbb{U}([2:N_x],n) + \Delta_t f(\mathbf{t}(n),\mathbf{x}([2:N_x]))
10:
              L \leftarrow 2(\Delta_x/D)\alpha(\mathbf{t}(n))
11:
              \boldsymbol{B} \leftarrow \text{SNDMBRGEN1D}(d, \boldsymbol{v}, L, \beta(\boldsymbol{t}(n)))
12:
              \mathbb{U}(:, n+1) \leftarrow \text{Solve}(\mathbb{A}, \boldsymbol{B})
13:
          Fin Pour
14:
15: Fin Fonction
```

Une étude de stabilité au sens de Von Neumann de ce schéma **implicite** permet de montrer qu'il est **inconditionnellement stable**!